

I -

$$1) \ddot{X} + 2\xi\omega_0 \dot{X} + \omega_0^2 X = 0 \quad \text{avec} \quad \left| \begin{array}{l} \omega_0^2 = \frac{k}{m} ; 2\xi\omega_0 = \frac{\alpha}{m} \\ X = x - \tilde{x} ; \tilde{x} = l_0 - \frac{g}{\omega_0^2} \end{array} \right.$$

$\omega_0$  est la pulsation propre de l'oscillateur (pulsation des oscillations libres en l'absence de frottement).

$\xi$  détermine le type de régime libre auquel sera sujet le système.

$0 < \xi < 1$  : régime pseudo-périodique

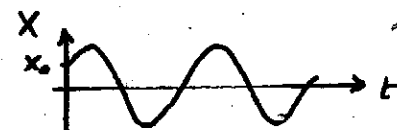
$\xi = 1$  : régime critique

$\xi > 1$  : régime périodique.

Signalons également le lien entre  $\xi$  et le facteur de qualité  $Q$  du système :

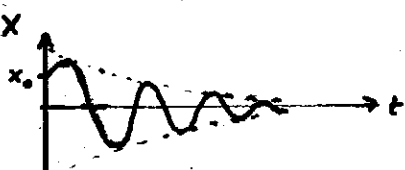
$$\underline{2\xi Q = 1}$$

$$2) \underline{\xi = 0} : X(t) = X_0 \cos(\omega_0 t) + \frac{V_0}{\omega_0} \sin(\omega_0 t)$$



$$\underline{0 < \xi < 1} : X(t) = e^{-\xi\omega_0 t} \cdot \left( X_0 \cos(\omega t) + \frac{V_0 + \xi\omega_0 X_0}{\omega} \sin(\omega t) \right)$$

$$\text{avec } \omega = \omega_0 \sqrt{1 - \xi^2}$$



Avec du vent,  $2\xi\omega_0 = \frac{\alpha - \beta}{m}$ . Si  $\beta > \alpha$ , le système devient instable, l'amplitude des oscillations croît avec le temps ...

$$3) \ddot{X} + 2\xi\omega_0 \dot{X} + \omega_0^2 X = - \frac{F_0}{m} - \frac{F_1}{m} \cos(2\pi ft)$$

donc

$$\ddot{Y} + 2\xi\omega_0 \dot{Y} + \omega_0^2 Y = - \frac{F_1}{m} \cos(\omega t) \quad \left| \begin{array}{l} \text{avec } \omega = 2\pi f \\ Y = X + \frac{F_0}{m\omega_0^2} \end{array} \right.$$

$$\underline{H = - \frac{1/\omega_0^2}{1 - \Omega^2 + 2i\xi\Omega}}$$

$$4) (\underline{H} \mapsto \underline{H'})'(\omega) \geq 0 \Leftrightarrow \Omega^2 \leq 1 - 25\epsilon^2 \quad (2)$$

Donc, si  $1 - 25\epsilon^2 > 0$ , une résonance existe. Elle se produit à la pulsation  $\omega_r = \omega_0 \cdot \sqrt{1 - 25\epsilon^2}$

$$\left| \underline{H}(\omega_r) \right| \underset{\epsilon \ll 1}{\sim} \frac{1}{25\omega_0^2} \quad \text{(tous calculs faits.)}$$

5).  $\omega_r \underset{\epsilon \ll 1}{\sim} \omega_0$  : on lit  $\omega_0 \approx 12 \text{ rad.s}^{-1}$

$$\cdot \left| \underline{H}(\omega_r) \right| \underset{\epsilon \ll 1}{\sim} \frac{1}{25\omega_0^2} ; \text{ on lit } 20 \log(0,4 \left| \underline{H}(\omega_r) \right|) \approx 9 \text{ donc } 5 \approx 0,18 \quad \left( \begin{array}{l} 5^2 \approx 0,03 \\ \text{car bien } \ll 1 \end{array} \right)$$

6) Une coïncidence entre les fréquences d'excitation et la fréquence de résonance peut conduire à de fortes amplitudes d'oscillation et mettre ainsi en péril la stabilité de l'ouvrage. Voilà pourquoi leur détermination est importante.

- 7) . capteur piezo-électrique posé au sol.  
. accéléromètre placé près du centre de gravité du piéton.

8) ①, ② et ③ souffrent de repliement spectral. La marche étant un phénomène périodique, le spectre doit être un spectre de raies régulièrement espacées. Ce n'est le cas que de la courbe ④ sur laquelle on identifie un fondamental de fréquence 2 Hz environ.

On constate que ce spectre est "convenablement" replié sur les courbes ①, ② et ③. Cette fréquence de 2 Hz est également visible sur la figure 2 page 3 de l'énoncé.

9) On constate que  $2\pi \times 2 \text{ Hz} \approx 12 \text{ rad.s}^{-1}$ . Les piétons excitent le Millennium Bridge pratiquement à sa fréquence de résonance ; d'où les problèmes rencontrés.

Un étage amortisseur additionnel résout le problème en modifiant l'amplitude du pont à résonance, notamment à la fréquence 2 Hz ...